

CI 機關에 있어서 세라믹 필터트랩에 關한 研究

A Study on the Ceramic Filter Trap in CI Engine

韓 英 出*, 柳 最 浩**
Y. C. Han, J. H. Yoo

ABSTRACT

This study is a theoretical analysis and experimental effect of oxygen concentration, exhaust velocity and trap inlet temperature on particulate ignition temperature with installation of ceramic filter trap in diesel engine. So the following results are obtained.

1. Based on the fundamental experiments of the regeneration process, the analytical model was developed and the results from the analytical model agreed with the experiments, then the validity of the model was prooved.
2. The ignition temperature for accumulated particulate was proportional to the exhaust velocity and it was known that the optimum exhaust velocity was about 15m/sec.
3. The ignition temperature for accumulated particulate was inversely proportional to the oxygen concentration and the trap inlet temperature, and a minimum oxygen concentration of 5% was required to sustain regeneration.
4. This experimental filter trap(EX-66) is found about 30% of smoke reduction efficiency in comparison with existing muffler.

기 호 설 명

	:	ΔH	Enthalpy of carbon oxidation. (cal/gmol)
C_p	:	Heat capacity of the gas. (cal/g $^{\circ}$ k)	k : Reaction rate constant. (cm/s)
C_{ps}	:	Heat capacity of the soot. (cal/g $^{\circ}$ k)	k_0 : Pre-exponential factor. (cm/s)
D	:	Diameter of cells. (cm)	L : Length of ceramic filter trap. (cm)
E	:	Internal energy in reaction chamber. (J)	ΔP : Pressure drop. (N/m ²)
E_r	:	Activation energy for the oxidation reaction. (cal/gmol $^{\circ}$ k)	R : Ideal gas constant. (cal/gmol $^{\circ}$ k)
h	:	Convective heat transfer coefficient. (cal/cm ² $^{\circ}$ k·s)	s : Specific surface area of the soot. (cm ⁻¹)
			T : Average rate of carbon oxidation. (g/cm ² s)

* 正會員, 國民大學校 機械工學科

** 國民大學校 大學院 機械工學科

T_{ign}	Ignition temperature. ($^{\circ}\text{K}$)
T_{in}	Inlet temperature. ($^{\circ}\text{K}$)
	Exhaust gas velocity. (cm/s)
W	Soot layer thickness. (cm)
x	Depth direction in the thin particulate layer. (cm)
β	Heating rate. ($^{\circ}\text{K}/\text{s}$)
ϵ	Void fraction of the particulate layer
ρ	Gas density. (g/cm^3)
ρ_s	Soot density. (g/cm^3)
ψ_{oz}	The oxygen concentration of the exhaust gas. (mol)

1. 序論

急速한 產業化가 이루어짐에 따라 產業公害가 深刻한 社會問題로 대두되고 있으며 특히 大都市 大氣汚染의 主原因이 되는 自動車 排出ガス의 問題는 날로 그 深刻度가 더해가고 있다. 특히 가솔린 차량에 대해서는 1987年 7月 1日부터 美國과 같은 水準으로 新規車輛에 대하여 實施하고 있으나 全體 車輛의 50% 以上인 디젤 自動車에서 가장 問題視되고 있는 煤煙은 現在의 水準을 그대로 維持하고 있어 이에 대하여 時急한 매연低減對策이 要求되고 있는 實情이다.

煤煙低減對策은 크게 세 가지로 区分할 수 있다. 첫째 機關改良, 둘째 燃料改良, 세째 排氣後處理方法¹⁾ 등이 있다. 이중 앞의 두 方法은 그 規制의 限界가 있으므로 後處理에 의한 方法의 研究가 가장 활발히 이루어지고 있다.

지금까지 많은 研究가 遂行되어 實用化 段階에 있거나 앞으로 實用化 可能性이 가장 높은 매연여과裝置로는 세라믹濾過裝置²⁾(Ceramic monolith trap) 觸媒濾過裝置(CTO : Catalytic Trap Oxidizer) 및 실리카-섬유재濾過裝置(Silica-fiber candle filter trap) 등이 있다.

本研究에서는 最近 美國에서 研究 開發中인 세라믹 필터중 가장 여과 效率이 뛰어난

壁流動型 모노리스 트랩(Wall-flow monolith trap)을 使用하여 트랩의 再生特性에 관한 數學的 모델을 設定하여 이의 理論解析結果와 實驗的 데이터를 比較 檢討함으로써 모델설정의妥當性을 立證하고 再生特性에 影響을 주는 酸素濃度, 入口溫度 및 排氣ガス流速 등의 影響을 調査하여 세라믹 필터를 使用한 煤燃低減對策에 寄與하고자 한다.

2. 세라믹 필터트랩에서의 매연生成과 數學的 解析

2.1 매연의 生成과 再生

필터트랩의 概念은 그림 1에 나타난 바와 같고 필터내에 많은 통로가 있어 가스가 이 통로를 通過하게 되고 이 때 多孔性壁에 의해서 여과가 일어나게 된다.

필터의 몸체는 가스통과와 여과에 따라 軸方向 및 放射線 方向 모두에 應力を 받게 되므로 熱膨脹係數가 낮고 耐久力이 強한 多孔性 Cordierite ($2\text{MgO}-2\text{Al}_2\text{O}_3-5\text{SiO}_2$)로 만들어져 있다.

일반적으로 트랩내에서 매연은 대개 約 430 $^{\circ}\text{C}$ 에서 點火하기始作한다. 그러나 實際走行에 있어서 排氣ガス 溫度는 250~350 $^{\circ}\text{C}$ 까지로 되어서 非現實的이다. 그래서 點火溫度를 낮추거나 혹은 排氣溫度를 높여서 再生이 될 수 있도록 해야 한다.

세라믹 필터트랩에 의한 매연再生은 다음 3段階로 나누어 생각할 수 있다.

(1) 貯藏段階

初期에는 化學反應이 없고 溫度의 증가도 없다. 다음 段階로 CO와 HC酸化 같은 發熱觸媒反應이 있고 그 후에는 收集된 매연物質이 點火하는 것으로 이루어진다. 이 때 背壓은 점점 증가하게 된다.

(2) 均衡段階

이 段階에서는 排氣背壓이 一定하게維持된다. 즉 매연除去에 의한 背壓의 減少와 매연蓄積에 의한 背壓의 증가가 같은範圍에 있다.

(3) 再生段階

이段階에서는 再生이 發生하며 再生은 排氣背壓의 減少에 對해서 特징지어 질 수 있다. 完全再生은 매연제거후 排氣背壓이 非負荷된 필터의 초기배압까지 낮아졌을때 이루어진다. 여과, 축적 및 제거는 再生過程동안 필터속에서 동시에 진행된다. 매연은 처음에 트랩의 구멍에서 여과되면서 그 다음에 트랩벽에 충으로 여과된다. 충으로 여과된 매연총은 附加的인 여과매체를 제공하게 된다.

2.2 필터트랩의 數學的 모델^{3,4)}

2.2.1 모델設定을 위한 假定

세라믹 모노리스 필터에서 再生過程의 實驗에 根據하여 數學的 모델이 그 再生過程을 시뮬레이션하기 위해서 設定되었다. 이러한 種類의 필터트랩은 排氣가스가 壁流動形 모노리스를 통하여 流動하기 때문에 매우 效率이 높고 이의 材質은 多孔性 Cordierite이다.

數學的 解析을 單純化시키기 위하여 다음과 같은 假定이 必要하다.

1) 모노리스 필터트랩 前面으로 流入되는 가스의 性質은 軸方向에 대해서는 變化가 없고 周圍의 벽은 完全히 斷熱되어 있다.

2) 排氣가스의 流動은 벽표면에 수직으로 流入된다.

3) 가스와 固相에서의 热傳達은 對流가 支配의이기 때문에 辐射와 傳導 热傳達 현상은 無視한다.

4) 粒子는 벽표면에 同一量 蓄積되고 가스 상에서의 热蓄積量은 粒子狀에서의 热蓄積量에 比하여 無視할 수 있다.

5) 酸素濃度를 除外하고는 모든 物性이 煤煙層에서 一定하다.

6) 매연총의 溫度(T_s)는 流動方向에 대해 等溫의이고 가스溫度 역시 一定하다.

7) 이 流動은 正常狀態流動이다.

2.2.2 數學的 解析

實驗에 의하여 點火溫度 T_{ign} 을 流速 V_s 와 酸素濃度 O_2 , 入口溫度 T_{in} 的 함수로서 決定하기 위해 다음과 같은 簡單한 數學的 接近이 行해졌다.

에너지 保存에 의하여

$$\dot{q}''_{accum} = \dot{q}''_{conv} + \dot{q}''_{react} \quad \dots \dots \dots \quad (1)$$

여기에서 \dot{q}''_{accum} 은 매연총에 蓄積되는 蒸積熱量率, \dot{q}''_{conv} 은 가스상과 粒子狀사이의 순수한 對流熱傳達率, \dot{q}''_{react} 은 粒子狀에서의 酸化에 의한 發熱量率을 뜻한다.

(1) 에너지의 計算

이 解析的 方法은 O_2 濃度를 除外한 모든 물성이 賦은 매연총에서 一定하다고 놓고 點火가 일어날 때까지 電氣히터를 使用하여 入口溫度를 增加시킨다.

$$\dot{q}''_{accum} = (1 - \varepsilon) \cdot \rho_s \cdot C_{ps} \cdot \beta \cdot w \quad \dots \dots \dots \quad (2)$$

가스상에서 热蓄積率은 固體狀에 比하여 無視될 수 있다.

$$\dot{q}''_{conv} = s \cdot h \cdot w \cdot (T_o - T_s), \quad (T_o = T_{in}) \dots \dots \dots \quad (3)$$

反應熱은

$$\dot{q}''_{react} = s \cdot (-\Delta H) \cdot F \cdot w \quad \dots \dots \dots \quad (4)$$

(2) 對流 热傳達係數의 計算^{9,10)} : h

對流 热傳達係數 h 는 Bisset & Shadmann에 의해 다음과 같이 表現한다.

$$h = \rho \cdot V_s \cdot C_p \cdot a_1 \cdot (\rho \cdot V_s / s)^{-a_2} \quad \dots \dots \dots \quad (5)$$

Bisset 와 Shadmann³⁾은 a_1 과 a_2 値을 층진층(Packed bed)에서의 热傳達特性을 나타내는 係數로 取했다.

對流 热傳達을 나타내는 式(3)과 (5)의 愛當性을 試驗하기 위하여 층진층을 通過하는 流速 및 그 때의 가스의 上昇溫度를 測定하고 매연총에 여러개의 thermocouple을 設置 \dot{q}''_{conv} 값을 決定하는 實驗을 하였다. 이렇게 測定된 \dot{q}''_{conv} 값은 다음과 같다.

$$\dot{q}''_{conv} = \rho \cdot V_s \cdot C_p \cdot (T_o - T_{out}) \quad \dots \dots \dots \quad (6)$$

式(3)과 같게 놓으면

$$\frac{T_s - T_o}{T_{out} - T_o} = \frac{\rho \cdot V_s \cdot C_p}{s \cdot h \cdot w} \quad \dots \dots \dots \quad (7)$$

式(7)을 式(5)에 代入

$$\frac{T_s - T_o}{T_{out} - T_o} = \frac{1}{a_1 \cdot s \cdot w \cdot (\rho/s)^{-\alpha_2}} V_s^{\alpha_2} \quad \dots (8)$$

$(T_s - T_o)/(T_{out} - T_o)$ 대 $V_s^{\alpha_2}$ 의 曲線은 선형
적이어야 한다.

(3) 매연 酸化 反應速度論^{5,8)}

매연과 O_2 와의 反應이 O_2 濃度에 있어서 1
次反應이라고 가정하면 이는 다음과 같이 나
타낼 수 있다.

$$r(x) = K C(x) \quad \dots (9)$$

反應層에서 酸素濃度의 保存式은 다음과 같
이 주어진다.

$$\frac{d}{dx}(C \cdot V_s) = -s \cdot k \cdot c \quad \dots (10)$$

경계조건 $C_{x=0} = C_o$ 을 사용하여 式(10)을 積
分하면

$$C(x) = C_o \cdot \exp\left(-\frac{s \cdot k \cdot w}{V_s}\right) \quad \dots (11)$$

여기에서 平均速度 \bar{r} 가 必要하므로

$$\bar{r} = \frac{\int r(x) dx}{\int dx} \quad \dots (12)$$

式(9)와 (11)을 式(12)에 代入하면

$$\bar{r} = \frac{C_o \cdot V_s}{w \cdot s} \left[1 - \exp\left(\frac{-s \cdot k \cdot w}{V_s}\right) \right] \quad \dots (13)$$

式(13)을 式(4)에 代入하면

$$\dot{q}_{react}'' = (-\Delta H) \cdot C_o \cdot V_s \left[1 - \exp\left(\frac{-s \cdot k \cdot w}{V_s}\right) \right] \\ = 0 \quad \dots (14)$$

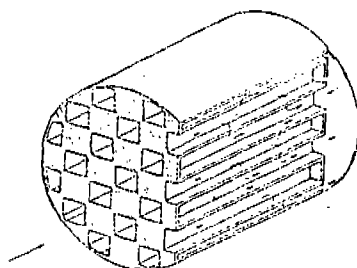


Fig. 1 Sectional view of a wall-flow monolith
Arrows show the path of gas through
the channels

(4) 點火溫度 T_{ign} 計算¹¹⁾

點火하기 위한 條件은 다음과 같다.

$$\dot{q}_{accum}'' - \dot{q}_{conv}'' - \dot{q}_{react}'' = 0 \quad \dots (15)$$

$$T_s = T_{ign}$$

式(2), (3) 및 (14)를 式(15)에 代入하면

$$(1-\varepsilon) \cdot \rho_s \cdot C_{ps} \cdot \beta \cdot w - s \cdot h \cdot w \cdot (T_o - T_{ign}) \\ - (-\Delta H) \cdot C_o \cdot V_s \cdot (1 - \exp(-s \cdot k \cdot w / V_s)) = 0 \quad \dots (16)$$

反應速度 K 를 Arrhenius 形態로 나타내면

$$K = K_o \exp(-E_r / RT_s) \quad \dots (17)$$

式(17)을 式(16)에 代入하면 T_{ign} , C_o , V_s 의 합
수로서 T_{ign} 을 풀 수 있다. 위의 計算을 電算
프로그램 하여 處理하였다.

3. 세라믹 필터트랩의 매연 低減 實驗

3.1 實驗裝置와 方法

본 實驗에 使用된 機關은 수냉식 4行程사
이를 와류실식 디젤機關으로서 그 主要 諸元
은 表 1 과 같고 세라믹 필터트랩의 諸元은 表
2 와 같다.

Table 1. Engine Specifications

Item.	Specifications.
Type	SD-22 Water Cooling, 4cycle Diesel Engine
Number of Cylinder	4 Cylinder
Bore × Stroke mm	83 × 100
Piston displacement cc	2164
Combustion chamber	Swirl chamber
Compression ratio	22.0 : 1
Max. Power kw/rpm	29.4/3200
Max. Torque N·m/rpm	119.6/1800
Injection pump	Bosh A type
Injection nozzle	Throttle type
Fuel injection timing (Before TDC/rpm)	200/1000~300/3000

Table 2. Specifications of Ceramic Filter Trap

Diameter × Length	11.84 × 15.24 cm
Cell Density	15.5 Ce/cm ²
Wall Thickness	12 mm
Mean Pore Diameter	15 ~ 30 μm
Porosity	30 ~ 50 %

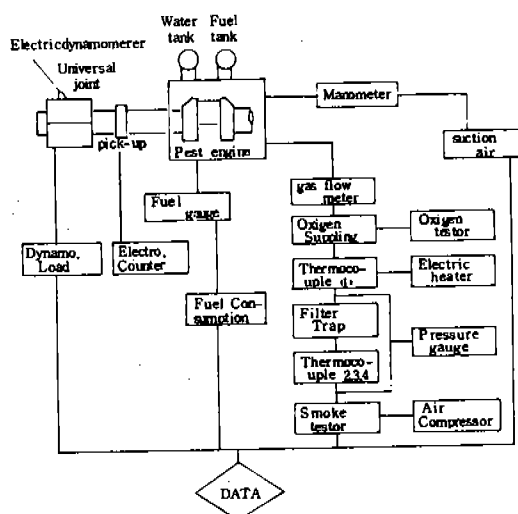


Fig. 2 Schematic Block diagram of Experimental Apparatus

본實驗의概略圖는 Fig. 2와 같다.

한편 필터의設置構造는 Fig. 3과 같이設置하였으며, 매니포울드 뒤에設置한 필터트랩은 세라믹 매트로 둘러斷熱시킨 다음 이것을 캐속에 넣었다. 필터 앞 쪽에는電氣히터, 酸素供給線, 背壓測定裝置, 流速測定裝置 및 Thermocouple을設置하며 필터트랩 뒤에는背壓 및 매연測定裝置를設置한다. 필터트랩내의溫度를測定하기위하여 3개의Thermocouple를一定間隔으로 트랩내에設置한다. 매연도測定에使用한스모크미터는여과지反射式排氣매연測定器(日製: GSN: 2)이다.

實驗方法은필터를裝着하고 8분동안 加速을시킨 다음 매분 트랩내의溫度, 트랩입구溫度, 背壓 배기ガス流速 및 매연을測定한다. 트랩내의溫度는thermocouple로부터自

動으로每分測定케하였고 매연은 매분 2장씩測定하여平均을내어記錄하였다. 또 배기ガス流速은필터앞쪽에設置된液柱計를通하여流速을測定하였다. 배기ガス溫度가 어느정도高溫에達했을때酸素를一定하게 1kg/cm²로注入試藥을使用한測定計器를利用酸素濃度를5分間隔으로測定하였고 이때電氣ヒ터를作動시켜附加的인 열을供給하여 중으로서再生이容易하게 일어나도록하였다.

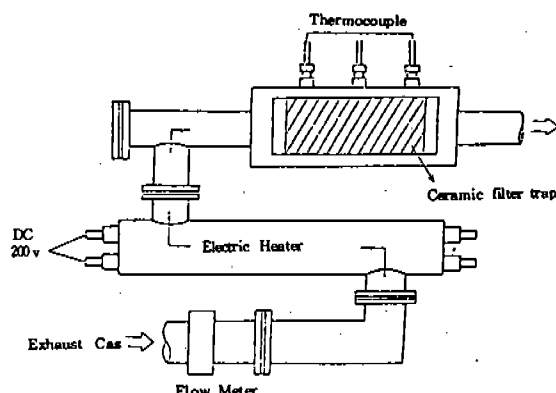


Fig. 3 Schematic Diagram of Experimental Apparatus

4. 實驗結果 및 考察

4.1 매연 低減効果와 温度分布

Fig. 4의 A는市中 머플러와 필터트랩의 매

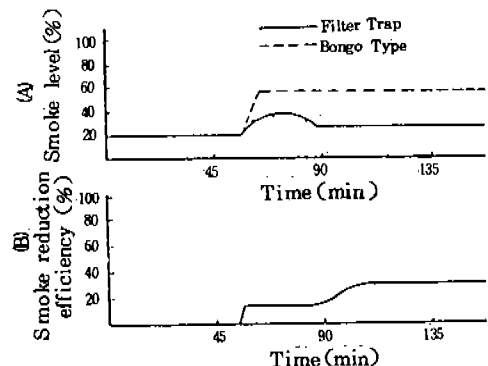


Fig. 4 Smoke level and smoke reduction efficiency of filter trap and bongo type

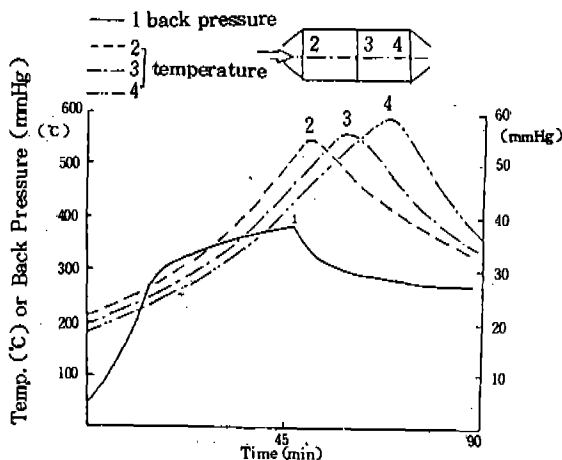


Fig. 5 Comparison of DPF Temperature Profile and Pressure

연도를 나타내고 있고, B는 市中 머플러에 대한 필터트랩의 매연低減效果를 나타낸 것이다. 여기에서 보는 바와 같이 市中 머플러보다 약 30%程度의 매연低減效果를 보여주고 있다.

Fig. 5에서 보여주는 바와 같이 누적된 粒子狀은 附加的인 에너지의 供給과 필터로 들어오는 높은 温度의 배기ガ스에 의해 點火되고 粒子酸化時 發熱된 熱에 의하여 트랩내에서 燃燒領域이 漸次的으로 트랩入口에서出口 쪽으로 移動하는 것을 볼 수 있다.

4.2 모델의妥當性과再生溫度에 미치는影響

測定한 酸素濃度에 대한 點火溫度와 數學的解析에서 計算된 點火溫度가 Fig. 6에서 比較検討한 바 거의一致함을 볼 수 있다. 이로서 數學的 모델에 대한妥當性을 立證할 수 있었다.

또한 排氣ガス의 流速이 再生溫度에 미치는影響을 考察하면, 排氣ガ스 入口溫度가 一定 할 때 필터트랩내의 粒子狀 點火溫度는 排氣ガ스 流速增加와, 酸素濃度가 減少함에 따라 높아지는 것을 알 수 있다. 이는 流速이 增加함에 따라 再生熱의 大部分이 트랩바깥으로 빠앗기기 때문이다. Fig. 7에서 보는 바와 같이 排氣ガ스流速이 15 m/sec까지는 再生溫度

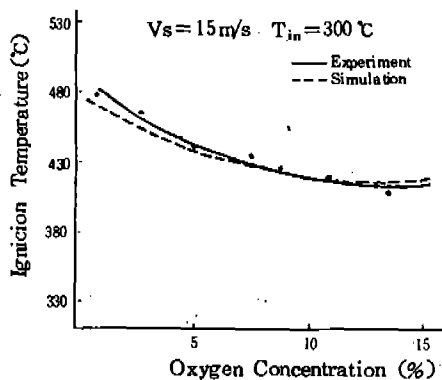


Fig. 6 Ignition temp. during regeneration vs O₂ concentration

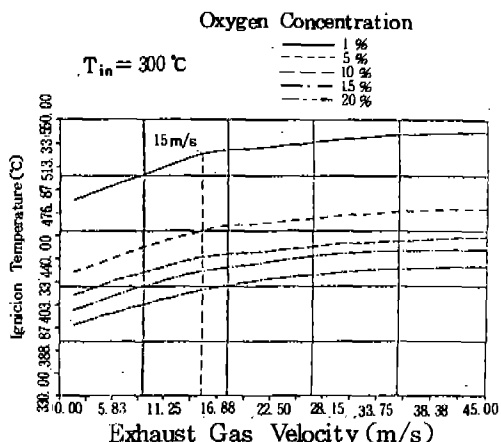


Fig. 7 Effect of Exhaust Gas Flow Velocity and O₂ concentration on the Ignition Temperature

의 變化는 急激히 上昇하다 그 후에서는 再生溫度變化가 적어져 거의 一定함을 보여주고 있다. 따라서 본 필터트랩의 最適 流速은 약 15 m/sec 程度임을 알 수 있다.

한편 酸素濃度와 트랩入口溫度가 再生溫度에 끼치는 影響을 살펴보면 배기ガス 流速이 15 m/sec로 一定할 때 Fig. 8에서 보는 바와 같이 粒子狀의 點火溫度는 酸素濃度와 入口溫度가 增加함에 따라 減少한다. 定常運轉條件下에서 排氣ガス溫度는 普通 200~400 °C 程度이다. 따라서 본 필터트랩에서 再生이 일어나기 위해서는 排氣ガス 流速이 15 m/sec 인 狀態에서 Fig. 8에서 보여주는 바와 같이 酸素濃度 5%程度까지는 再生溫度가 急降下한다.

그以上에서는 再生溫度의 減少變化가 적게 나타나므로 最小限 酸素濃度가 5% 以上은 되어야 함을 엿볼 수 있다. 위의 再生溫度 및 가스유속은 다른 研究^{2,3,6)} 와 비슷한 結果를 가져옴으로 본 研究의妥當性을 再確認할 수 있었다.

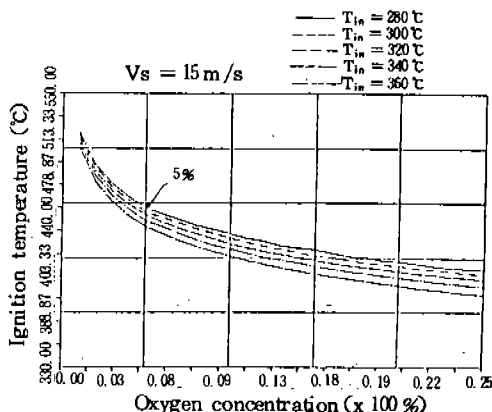


Fig. 8 Effects of O₂ concentration and trap temp on the ignition temp.

5. 結論

디젤機關에 있어서 再生溫度에 影響을 미치는 因子中 酸素濃度, 排氣ガス流速 및 트랩入口溫度에 대하여 理論解析 및 實驗을 통하여 綜合檢討한 바 다음과 같은 結論을 얻었다.

(1) 再生過程에 대한 數學的 모델이 設定되었고 여기에서의 計算結果와 實驗結果가 거의一致하여 본 모델의妥當性이 立證되었다.

(2) 蓄積된 粒子狀의 點火溫度는 排氣ガス流速에 比例하여 流速이 약 15m/sec 일 때가 가장 最適 流速임을 알 수 있었다.

(3) 본 필터트랩에서 蓄積된 粒子狀의 點火溫度는 酸素濃度와 필터入口溫度와는 반비례하였고 排氣ガ스 流速이 약 15m/sec 인 경우 5%의 酸素濃度가 再生을 하기 위한 最適酸素濃度임을 發見하였다.

(4) 實際 필터트랩은 既存 머플러에 比해 幅低減率이 약 30% 程度임을 알 수 있었다.

參 考 文 獻

1. O.A. Ludecke, D.L. Dimick; "Diesel Exhaust Particulate Control System Deve-

lopment" SAE Paper No.830085.

2. B. Wiedemann, U. Doerges, W. Engeler, B. Poettner; "Regeneration of Diesel Particulate Filters at Temperatures" SAE Paper No.830086.
3. E.J. Bisset, F. Shadmann; "Thermal Regeneration of Diesel Particulate Monolithic Filters" A.I.Ch.E. Journal 31, 1985.
4. W.R. Wade, J.E. White, J.J. Florek; "Diesel Particulate Trap Regeneration Techniques" SAE Paper No.810118.
5. E. Pauli; "The Calculation of Regeneration Limits of Diesel Particulate Traps for Different Regeneration Methods" SAE Paper No.840075.
6. G.M. Simon, T.L. Stark; "Diesel Particulate Trap Regeneration Using Ceramic Wall-Flow Traps, Fuel Additives and Supplemental Electrical Igniters" SAE Paper No.850016.
7. Z.M. Mokaka; "Performance and Regeneration Characteristics of a Cellular Ceramic Diesel Particulate trap" SAE, 1982.
8. E. Pauli, G. Lepperhoff; "The Description of the Regeneration Behavior of Diesel particulate Traps with the Aid of a Mathematical Model" SAE 830180.
9. B. Widemann, U. Doerges; "Applications of Particulate Traps and Fuel Additives for Reduction of Exhaust Emissions" SAE Paper No.840078.
10. Kenichirou Takama, Kiyoshi Kobashi; "Regeneration Process of Ceramic Foam Diesel-Particulate" SAE Paper No.841394.
11. M.A. Field, D.W. Gill, B.B. Morgan, P.G.W. Hawksley; "Combustion of Pulverized Coal" BCURA Leatherhead, Cheryoy and Sons, Ltd., Banbury, England, 1967.
12. R.B. Bird, W.E. Stewart, E.N. Light; "Transport Phenomena" John Wiley and Sons, New York, 1960.